

Estruturas Pré-Fabricadas de Concreto Considerações sobre a NBR 9062 Projeto das Estruturas Pré-fabricadas

Eng° Carlos Melo







NBR 9062 – 1985

O recomeço de tudo.

Após a determinação do IPT (1983) de demolir os prédios pré-fabricados com patologias.





NBR 9062 -2017

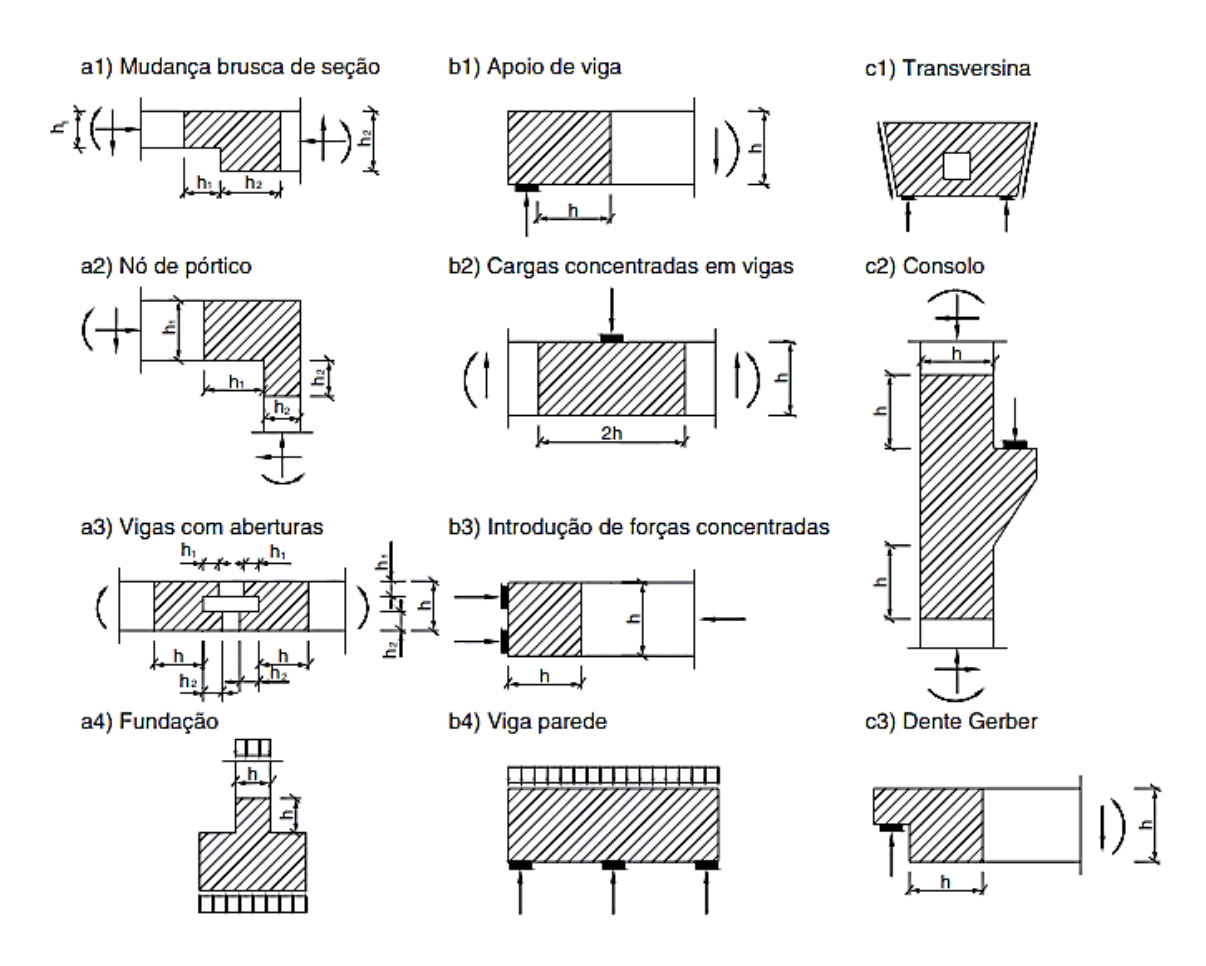
Necessário nova revisão para retirar as dúvidas que vem surgindo ao longo do tempo!





Exemplo 1 – Responsabilidade do elemento

4 e 5 de



Presente na NBR 6118:2023

Adicionar na NBR 9062

Figura 22.1 - Situações típicas de regiões D

Para consolos, dentes Gerber e elementos que se comportam como tais, deve-se considerar um coeficiente adicional γ_n no mínimo igual a 1,2.





Exemplo 2 – Taxa de redução - Cortante Incêndio

4 e 5 de junho de 2025

5.3.1.5.9 Em lajes alveolares, para a capacidade à força cortante, devem ser seguidas as reduções conforme a Tabela 5, independentemente da laje ser confinada ou não.

Tabela 5 – Relação da redução de cortante

	Espessura da lajes (com ou sem capa) mm			
TRRF	V _{Rd incêndio} / (V _{Rd}) em			
	≤ 210	220 - 350	> 350	
30	100	100	100	
60	80	75	70	
90	75	70	65	
120	70	60	55	
180	50	45	45	

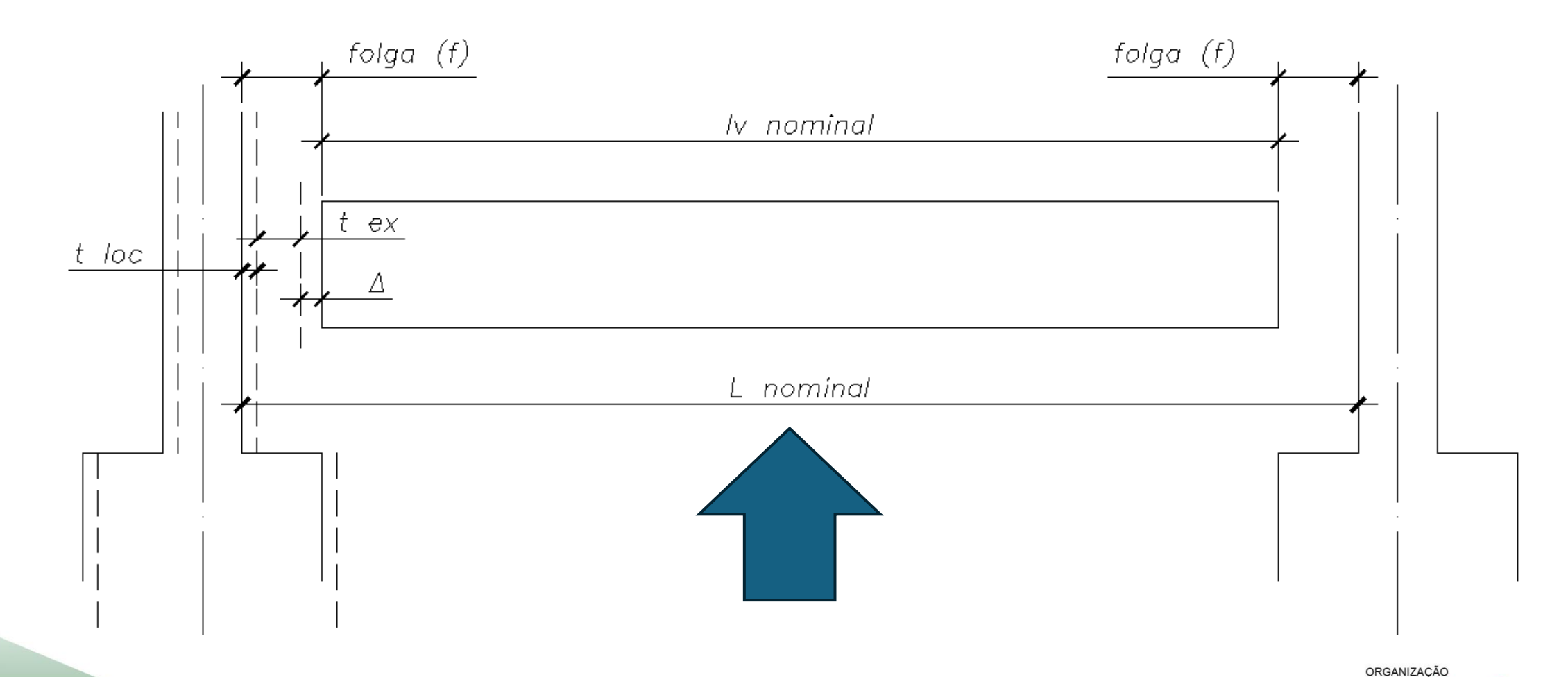




Exemplo 3 – Comprimento da peça no cálculo

Associação Brasileira da Construção Industrializada de Concreto

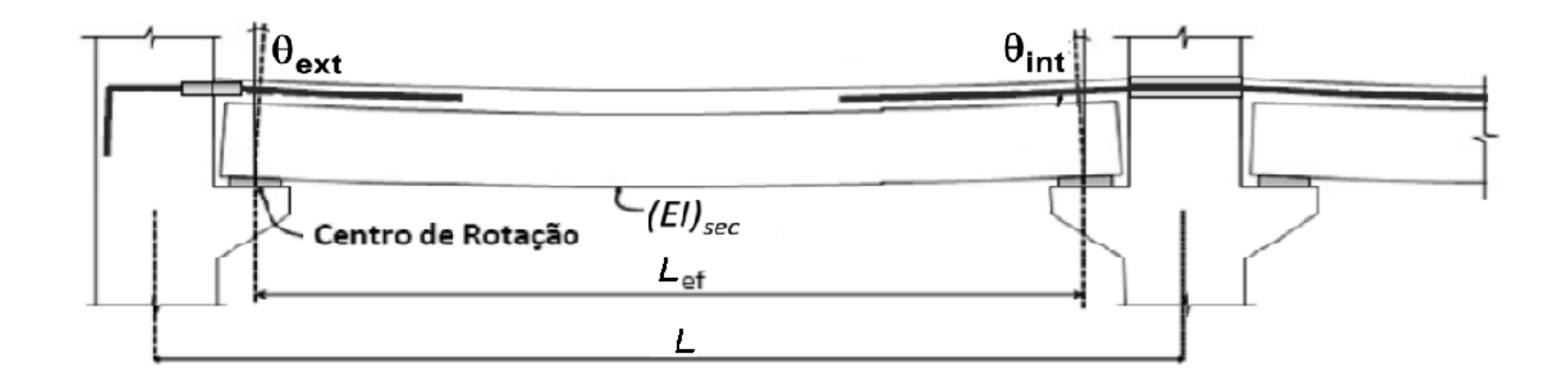
4 e 5 de junho de 2025





4 e 5 de junho de 2025

Exemplo 3 – Comprimento da peça no cálculo

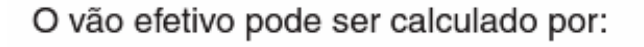






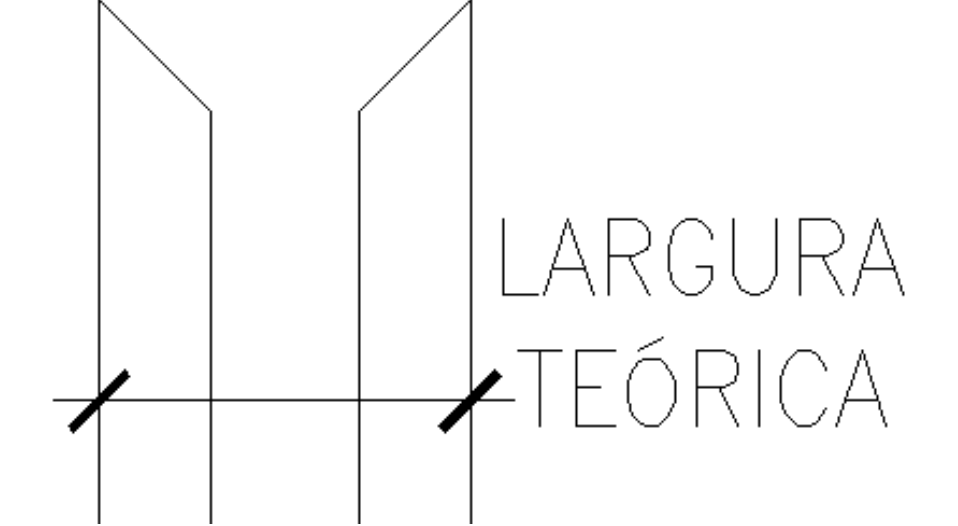
Exemplo 3 – Comprimento da peça no cálculo

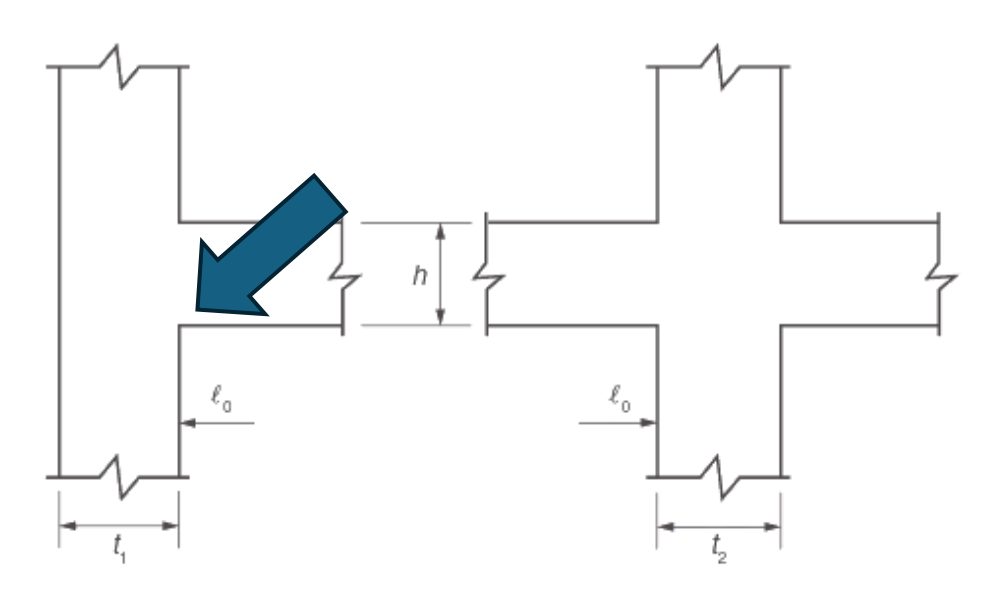
4 e 5 de junho de 2025



$$\ell_{\text{ef}} = \ell_0 + a_1 + a_2$$

com a_1 igual ao menor valor entre $(t_1/2 e 0,3h)$ e a_2 igual ao menor valor entre $(t_2/2 e 0,3h)$, conforme Figura 14.5.





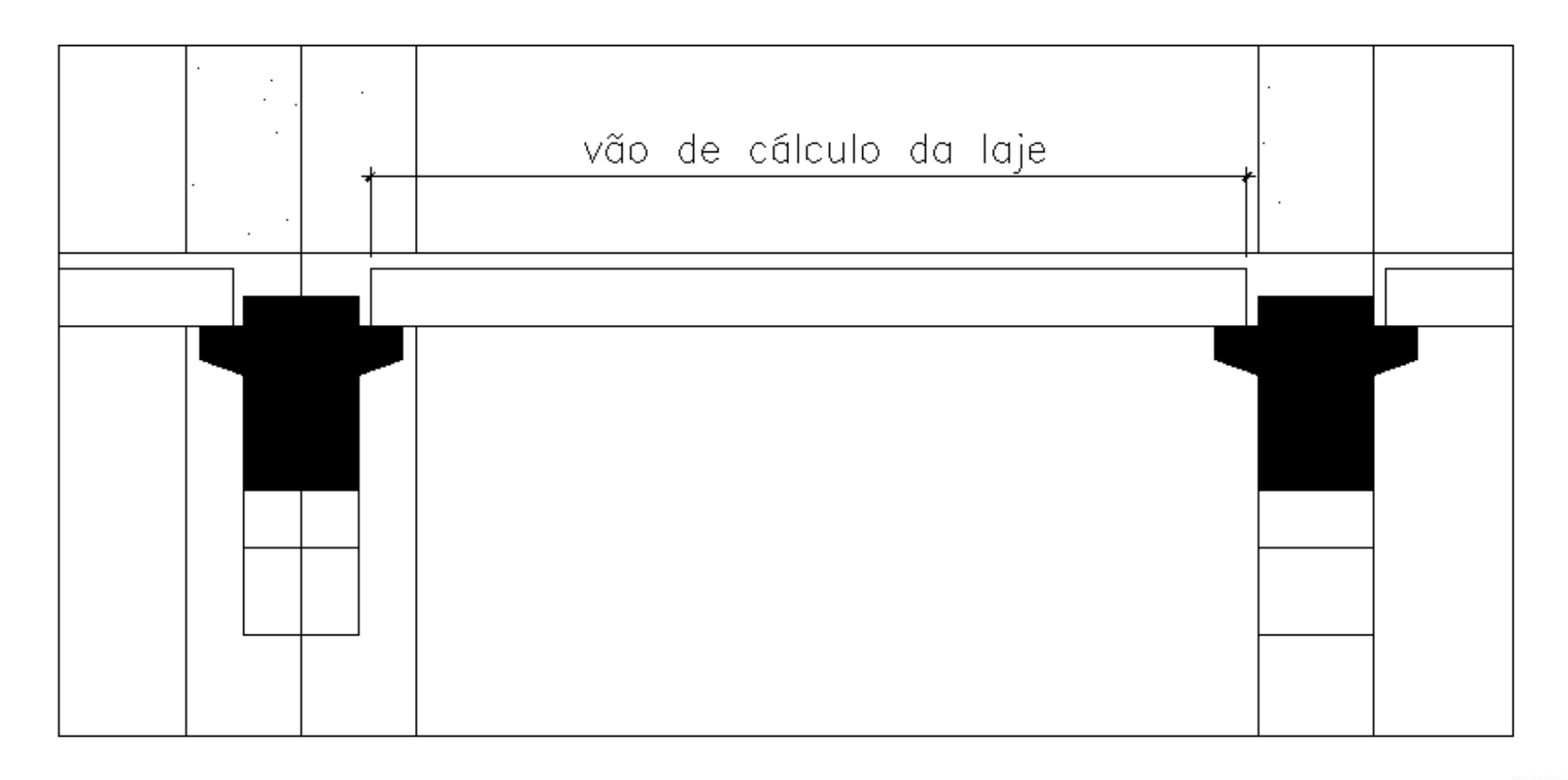
a) Apoio de vão extremo

b) Apoio de vão intermediário





Vale também para laje alveolar O mais comum é utilizar o comprimento da laje como vão de cálculo

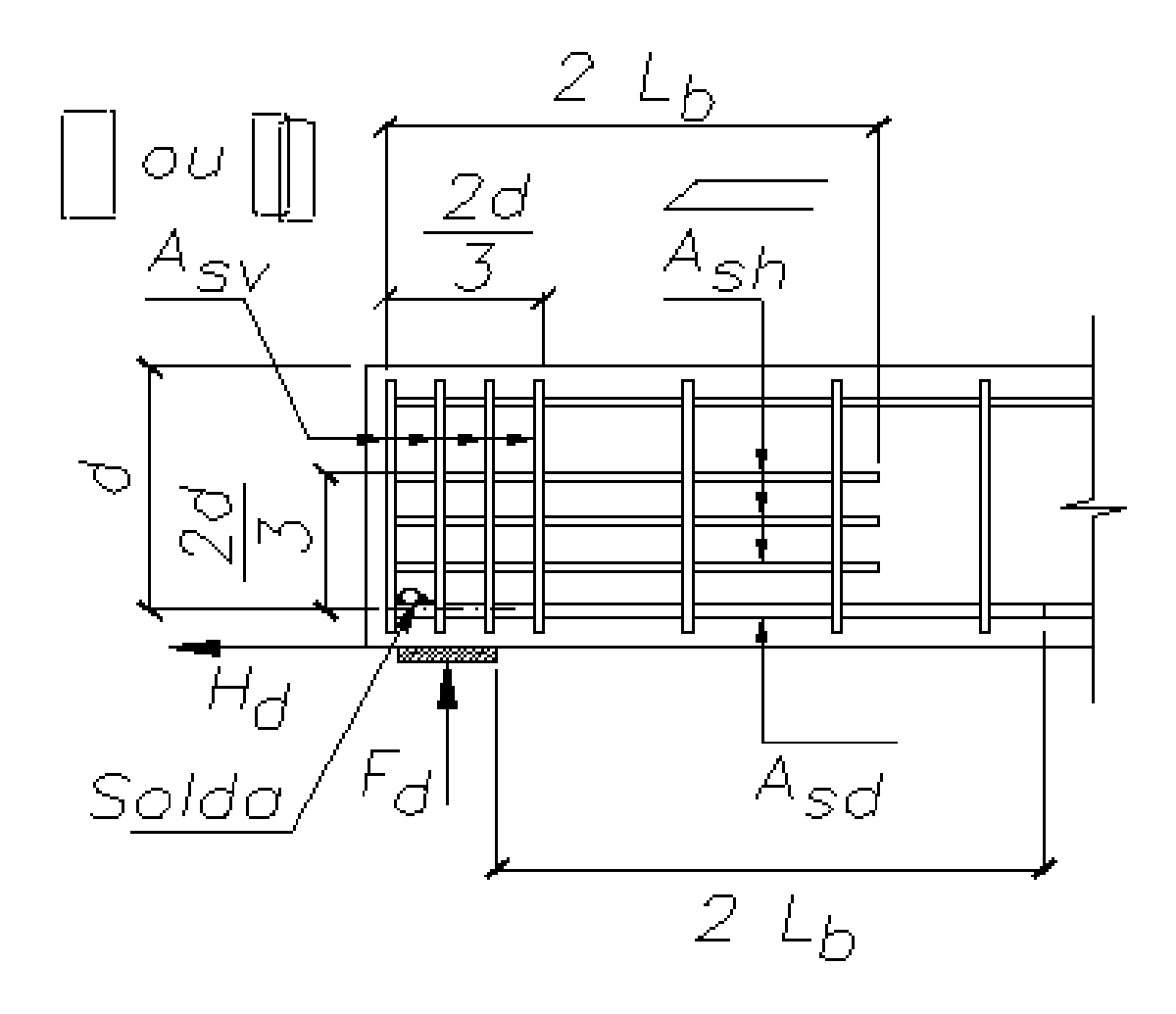






Exemplo 4 – Grampo na Extremidade da viga

4 e 5 de junho de 2025







Exemplo 4 – Grampo na Extremidade da viga

4 e 5 de junho de 2025

7.5 Ligações por meio de apoios nas extremidades sem recortes de vigas

7.5.1 Na falta de cálculo mais rigoroso ou de comprovação experimental conclusiva, permite-se calcular a armadura principal (tirante) do apoio nas extremidades de vigas pré-moldadas, obedecidas as disposições construtivas pertinentes, prescritas em 7.3.3, pela equação a seguir:

$$A_{\rm sd} = (F_{\rm d}/1, 2 + H_{\rm d}) f_{\rm yd}$$

7.5.2 Nas mesmas condições (ver Figura 24), permite-se determinar a armadura de costura horizontal e vertical, respectivamente A_{sh} e A_{sv}, pela equação a seguir:

$$A_{sh} = A_{sv} = F_{d}/(8.f_{vd})$$

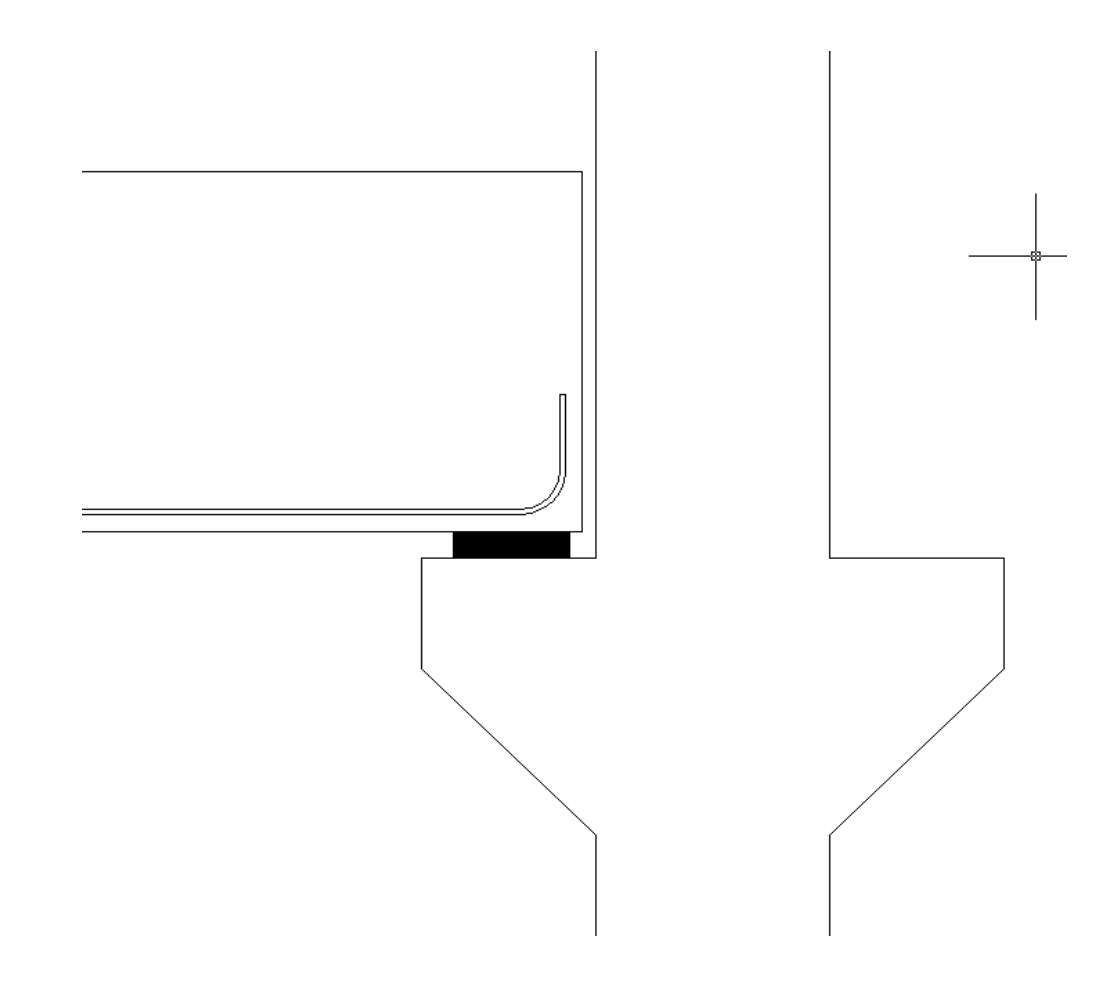
Armadura de protensão diminui essa armadura?





4 e 5 de junho de 2025

Nota: Permite-se a utilização da NBR6118 para a determinação desta armadura.







Exemplo 5 – Tabela de Protensão

Tabela 13.4 – Exigências mínimas de durabilidade relacionadas à fissuração e à proteção da armadura, em função das classes de agressividade ambiental

Tipo de concreto estrutural	Tipo de protensão	Classe de agressividade ambiental (CAA)	Exigências relativas à fissuração	Combinação de ações em serviço a utilizar	
Concreto simples	_	CAA I a CAA IV	Não há	-	
	-	CAAT	ELS-W $w_k \le 0,4 \text{ mm}$	Combinação frequente	
Concreto armado	-	CAA II e CAA III	ELS-W $w_k \le 0.3 \text{ mm}$		
	_	CAA IV	ELS-W $w_k \le 0.2 \text{ mm}$		
Concreto protendido nível 1 (protensão parcial)	Pré-tração	CAAI		Combinação	
	Pós-tração	CAA I e CAA II	CAA I e CAA II ELS-W w _k ≤ 0,2 mm		
			Verificar as duas condições abaixo		
Concreto protendido nível 2 (protensão limitada)	Pré-tração	CAA I e CAA II	ELS-F	Combinação frequente	
	Pós-tração	CAA I a CAA IV	ELS-D ^a	Combinação quase permanente	
Concreto protendido nível 3 (protensão completa)	Dró tracão CAA La CAA	CAALaCAAN	Verificar as duas	condições abaixo	
	Pré-tração CAA I a CAA IV		ELS-F	Combinação rara	
	Pós-tração	CAA I a CAA IV	ELS-D ^a	Combinação frequente	

Para as classes de agressividade ambiental CAA-III e IV, exige-se que as cordoalhas não aderentes tenham proteção especial na região de suas ancoragens.

No caso de pré-tração em estruturas de concreto pré-fabricado, devem ser atendidos os requisitos da ABNT NBR 9062.

NOTA 1 As definições de ELS-W, ELS-F e ELS-D encontram-se em 3.2.

NOTA 2 No projeto de lajes lisas e cogumelo protendidas, basta ser atendido o ELS-F para a combinação frequente das ações, em todas as classes de agressividade ambiental.





a A critério do projetista, o ELS-D pode ser substituído pelo ELS-DP com a_D = 50 mm (ver Figura 3.1).



Exemplo 5 – Tabela de Protensão

4 e 5 de junho de 2025

13.4.2 Limites para fissuração e proteção das armaduras quanto à durabilidade

A abertura máxima característica w_k das fissuras, desde que não exceda valores da ordem de 0,2 mm a 0,4 mm, (conforme Tabela 13.4) sob ação das combinações frequentes, não tem importância significativa na corrosão das armaduras passivas.

Como para as armaduras ativas existe a possibilidade de corrosão sob tensão, esses limites devem ser mais restritos e função direta da agressividade do ambiente, dada pela classe de agressividade ambiental (ver Seção 6).

Na Tabela 13.4 são dados valores-limites da abertura característica w_k das fissuras, assim como outras providências, visando garantir proteção adequada das armaduras quanto à corrosão. Entretanto, devido ao estágio atual dos conhecimentos e da alta variabilidade das grandezas envolvidas, esses limites devem ser vistos apenas como critérios para um projeto adequado de estruturas.

Embora as estimativas de abertura de fissuras feitas em 17.3.3.2 devam respeitar esses limites, não se deve esperar que as aberturas de fissuras reais correspondam estritamente aos valores estimados, isto é, fissuras reais podem eventualmente ultrapassar esses limites.

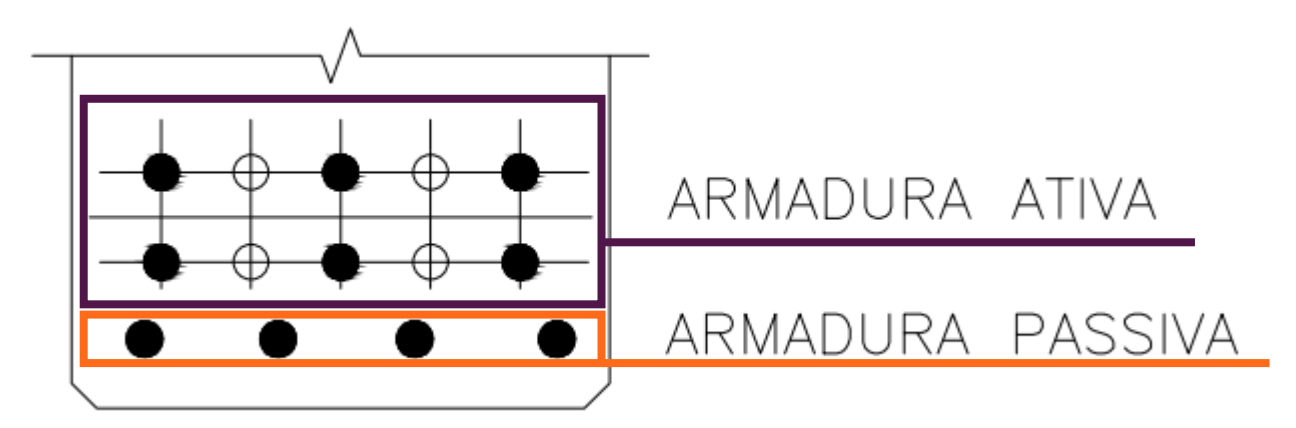




Exemplo 5 – Tabela de Protensão

4 e 5 de junho de 2025

Armadura mínima para armadura frouxa na protensão total ou parcial.







Exemplo 6 – Cimento ARI

Durabilidade

Introduzir as tabelas de Agressividade do concreto, mas considerando concreto produzido em fábrica — ARI e baixo desvio padrão (Tabela 7.1 e 7.2)





4 e 5 de junho de 2025

Exemplo 6 – Cimento ARI

Ainda em relação ao ARI e concreto produzido em fábrica, rever o Módulo de Elasticidade para esse concreto.

Cura a Vapor





Exemplo 7 – Ações e Segurança

Norma de Vento

 $(0.88)^2 = 0.77$

Tabela 3 - Valores mínimos do fator estatístico S₃

Grupo	Descrição	S ₃
1	Edificações cuja ruína total ou parcial pode afetar a segurança ou possibilidade de socorro a pessoas após uma tempestade destrutiva (hospitais, quartéis de bombeiros e de forças de segurança, centrais de comunicação, etc.)	1,10
2	Edificações para hotéis e residências. Edificações para comércio e indústria com alto fator de ocupação	1,00
3	Edificações e instalações industriais com baixo fator de ocupação (depósitos, silos, construções rurais, etc.)	0,95
4	Vedações (telhas, vidros, painéis de vedação, etc.)	0,88
5	Edificações temporárias. Estruturas dos grupos 1 a 3 durante a construção	0,83





Exemplo 7 – Ações e Segurança

4 e 5 de junho de 2025

S3 = 0.92Para fechamento Nota na tabela

 $(0,92)^2 = 0.85$



Tabela 4 – Valores mínimos do fator estatístico S₃

Grupo	Descrição	S ₃	T _p (anos
1	Estruturas cuja ruína total ou parcial pode afetar a segurança ou possibilidade de socorro a pessoas após uma tempestade destrutiva (hospitais, quartéis de bombeiros e de forças de segurança, edifícios de centrais de controle, etc.). Pontes rodoviárias e ferroviárias. Estruturas que abrigam substâncias inflamáveis, tóxicas e/ou explosivas. Vedações das edificações do grupo 1 (telhas, vidros, painéis de vedação).	1,11	100
2	 Estruturas cuja ruína represente substancial risco à vida humana, particularmente a pessoas em aglomerações, crianças e jovens, incluindo, mas não limitado a: edificações com capacidade de aglomeração de mais de 300 pessoas em um mesmo ambiente, como centros de convenções, ginásios, estádios etc. creches com capacidade maior do que 150 pessoas; escolas com capacidade maior do que 250 pessoas; Vedações das edificações do grupo 2 (telhas, vidros, painéis de vedação). 	1,06	75
3	Edificações para residências, hotéis, comércio, indústrias. Estruturas ou elementos estruturais desmontáveis com vistas a reutilização. Vedações das edificações do grupo 3 (telhas, vidros, painéis de vedação).	1,00	50
4	Edificações não destinadas à ocupação humana (depósitos, silos) e sem circulação de pessoas no entorno. Vedações das edificações do grupo 4 (telhas, vidros, painéis de vedação).		37
5	Edificações temporárias não reutilizáveis. Estruturas dos Grupos 1 a 4 durante a construção (fator aplicável em um prazo máximo de 2 anos). Vedações das edificações do grupo 5 (telhas, vidros, painéis de vedação).	0,83	15

com o fator (0,92 x S₃), em vez de S₃

ORGANIZAÇÃO





Exemplo 8 – ATP – Verificação de Projeto

$$\gamma f = \gamma f 1^* \gamma f 2^* \gamma f 3.$$

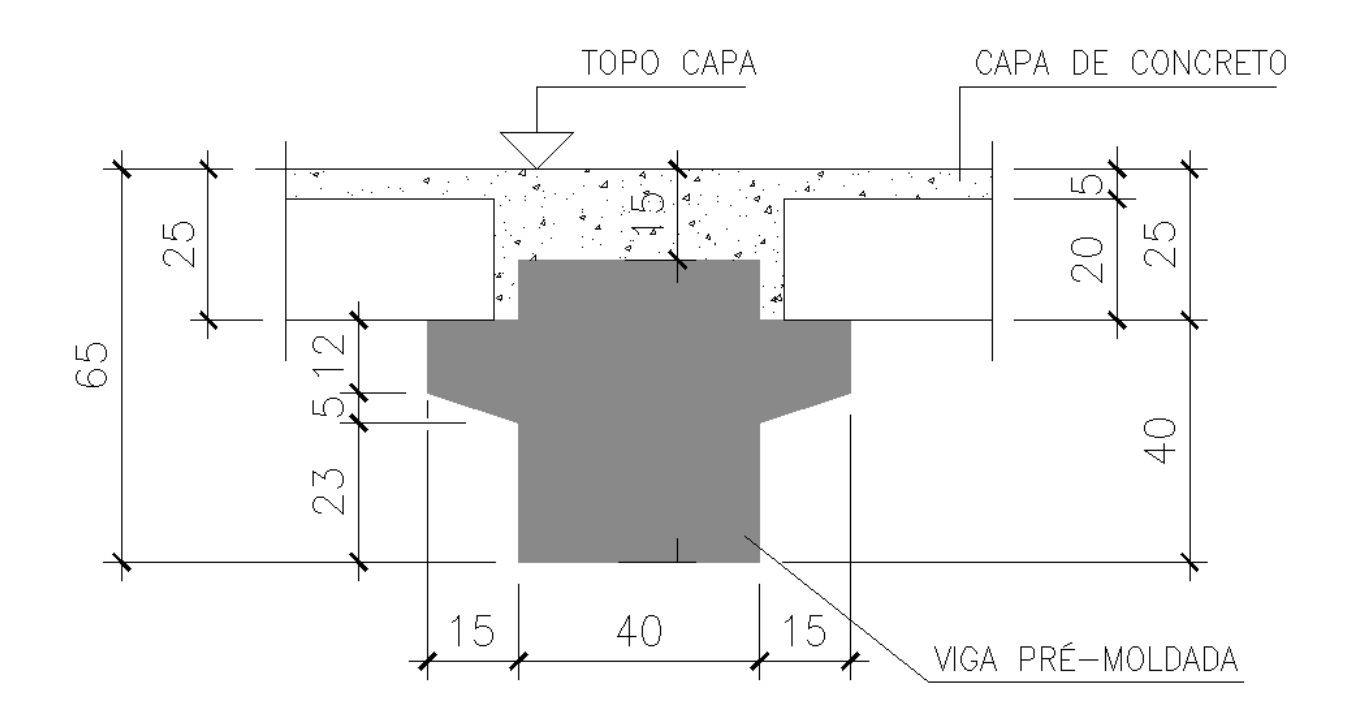
γf3 se refere ao projeto e incertezas de modelagem. ATP poderia reduzir esse coeficiente?





Exemplo 9 – Mesa colaborante

Deixar claro que se pode utilizar a capa como mesa colaborante da seção.







4 e 5 de junho de 2025

Exemplo 10 – Aparelho de Apoio

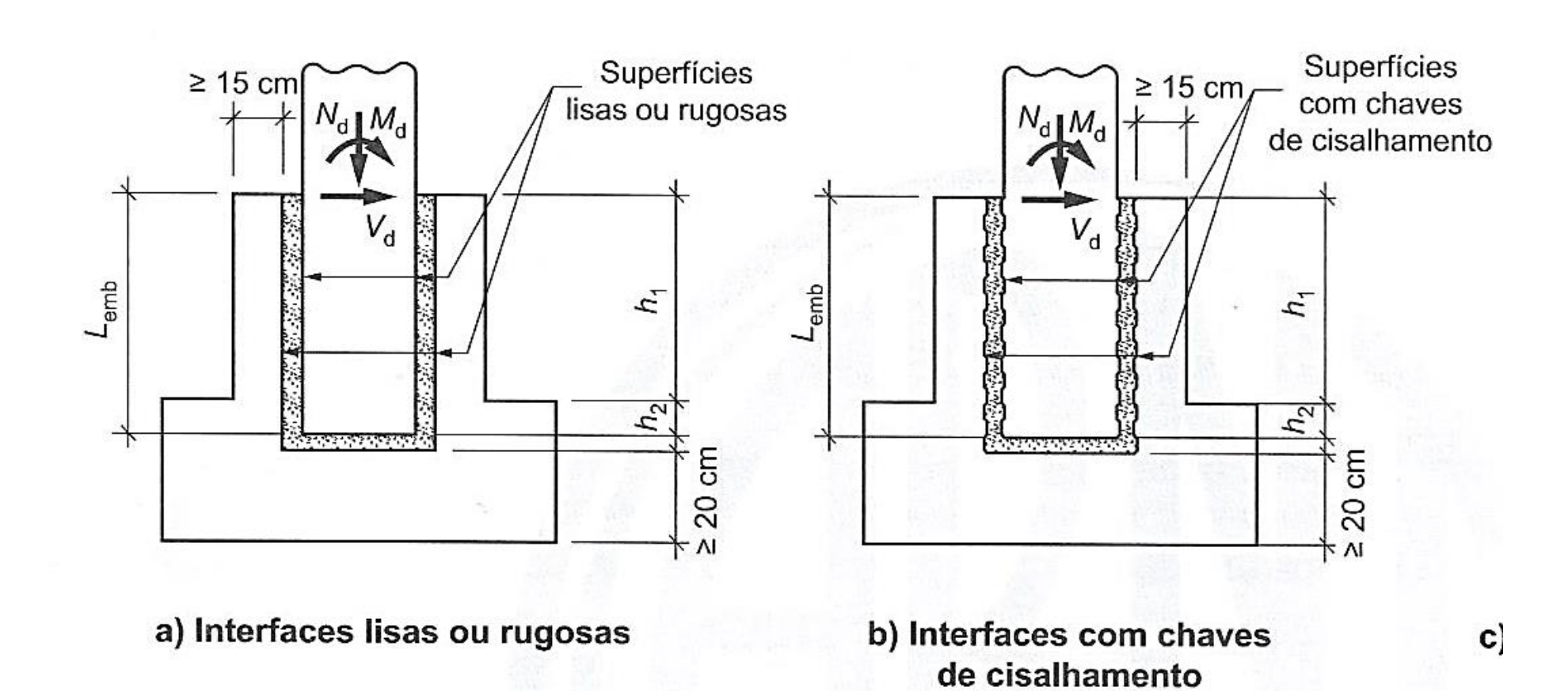
Diferenciar Aparelho de Apoio e Distribuição de tensões.







4 e 5 de junho de 2025



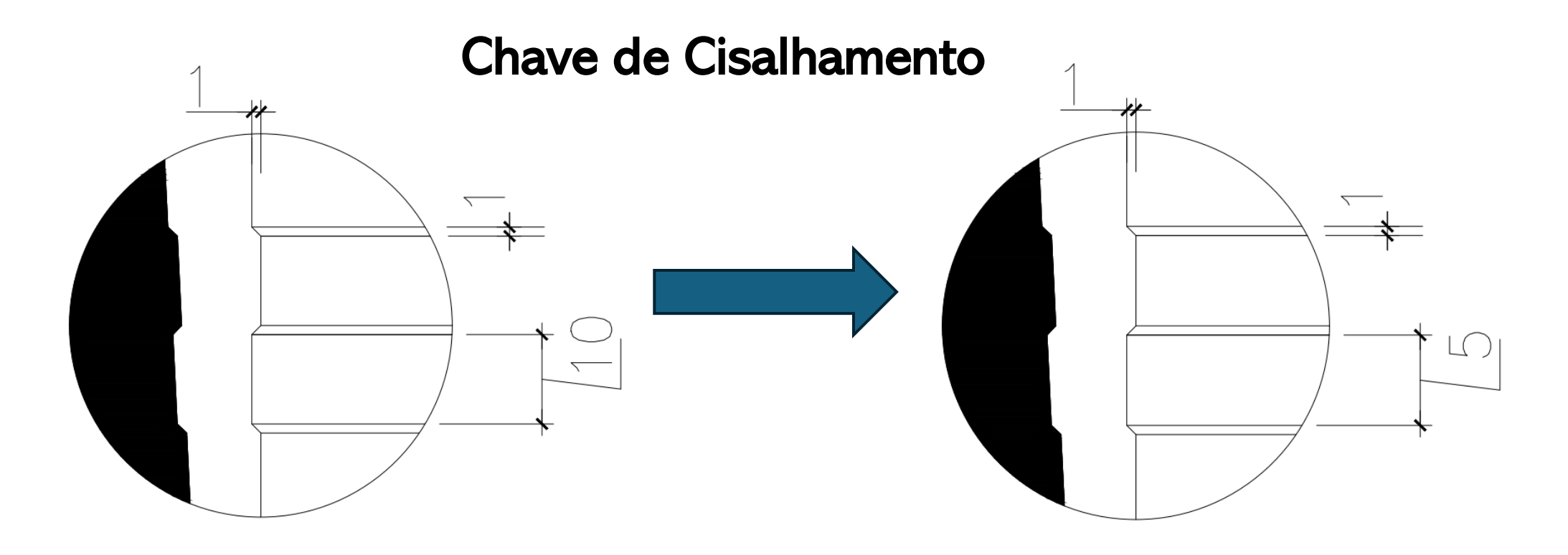
ORGANIZAÇÃO

ABOCIC

Associação Brasileira da Construção
Industrializada de Concreto



4 e 5 de junho de 2025



NBR 9062:2006

NBR 9062:2017





4 e 5 de junho de 2025

Ambiguidade

7.7.3.5 Para cálices com colarinho, as pressões do pilar correspondentes à resultante $H_{\rm sfd}$ produzem flexo tração na parede frontal. Na falta de cálculo mais rigoroso, pode-se considerar apenas a tração na parede frontal. A resultante das pressões da parede frontal é transferida para a fundação por meio das paredes longitudinais. Os modelos para cálculo das armaduras horizontais e verticais nas paredes do colarinho estão mostrados na Figura 27. Utilizar $H_{\rm sfd}$ para dimensionamento da armadura horizontal e $F_{\rm vd}$ para a armadura vertical.

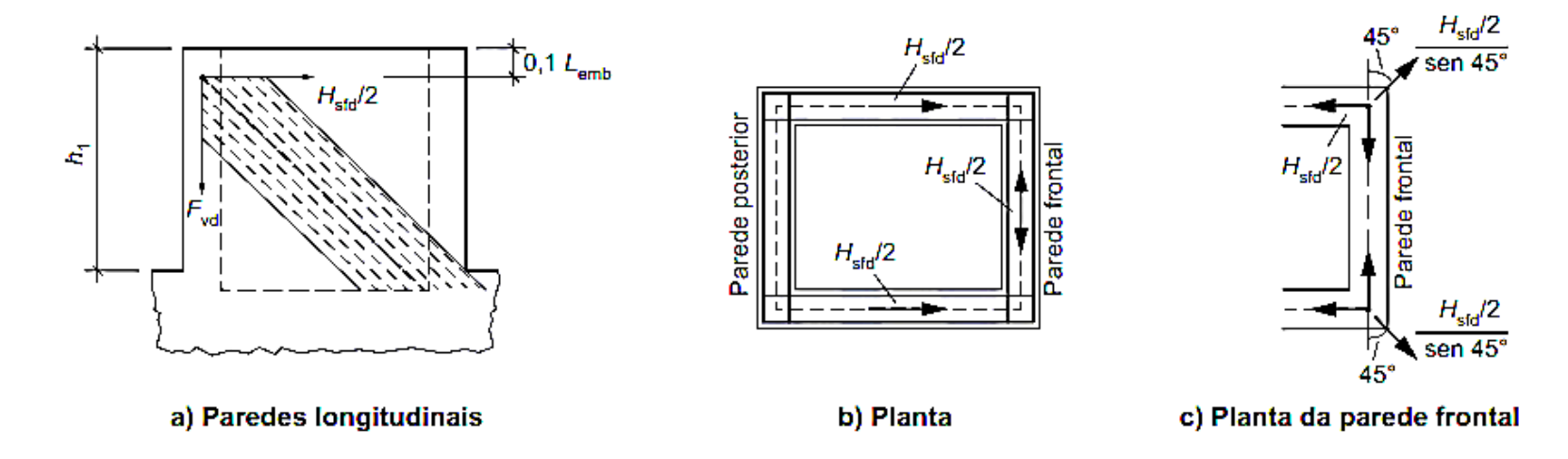


Figura 27 – Transferência dos esforços nas paredes do colarinho dos cálices de interfaces lisas ou rugosas





4 e 5 de junho de 2025

As resultantes H_{sfd} e N_{bd} , mostradas na Figura 26, levando em conta as forças de atrito e considerando

 $e_{\rm nb} = h/4$ e $a = L_{\rm emb}/10$, são calculadas pela equação a seguir:

$$H_{\text{sfd}} = \frac{M_{\text{d}} - N_{\text{d}} \left[0.25 \, h + \mu \left(\frac{0.1 L_{\text{emb}} - 0.75 \mu \cdot h}{1 + \mu^2} \right) \right] + V_{\text{d}} \left[L_{\text{emb}} - \left(\frac{0.1 L_{\text{emb}} - 0.75 \mu \cdot h}{1 + \mu^2} \right) \right]}{0.8 L_{\text{emb}} + \mu \cdot h}$$

$$N_{bd} = \frac{N_d - \mu \cdot V_d}{1 + \mu^2}$$

7.7.3.2 O coeficiente de atrito μ não pode ser maior que 0,3, no caso de interfaces lisas, nem maior que 0,6, no caso de interfaces rugosas.



4 e 5 de junho de 2025

7.7.4.3 As pressões horizontais transferidas pelas bielas se concentram na parte superior do cálice. No caso de cálice com colarinho, as resultantes das pressões horizontais do trecho de $L_{emb}/3$ do topo do cálice têm seu valor calculado pelas equações a seguir:

$$H_{sfd} = \frac{\left[M_{d} + V_{d}L_{emb} + N_{d}(0,5.d_{c})\right]}{2,60.d_{c}}$$

$$H_{\text{spd}} = \frac{[M_{\text{d}} + V_{\text{d}}L_{\text{emb}} - N_{\text{d}} (0.4.d_{\text{c}})]}{0.63.d_{\text{c}}} \ge 0$$

onde

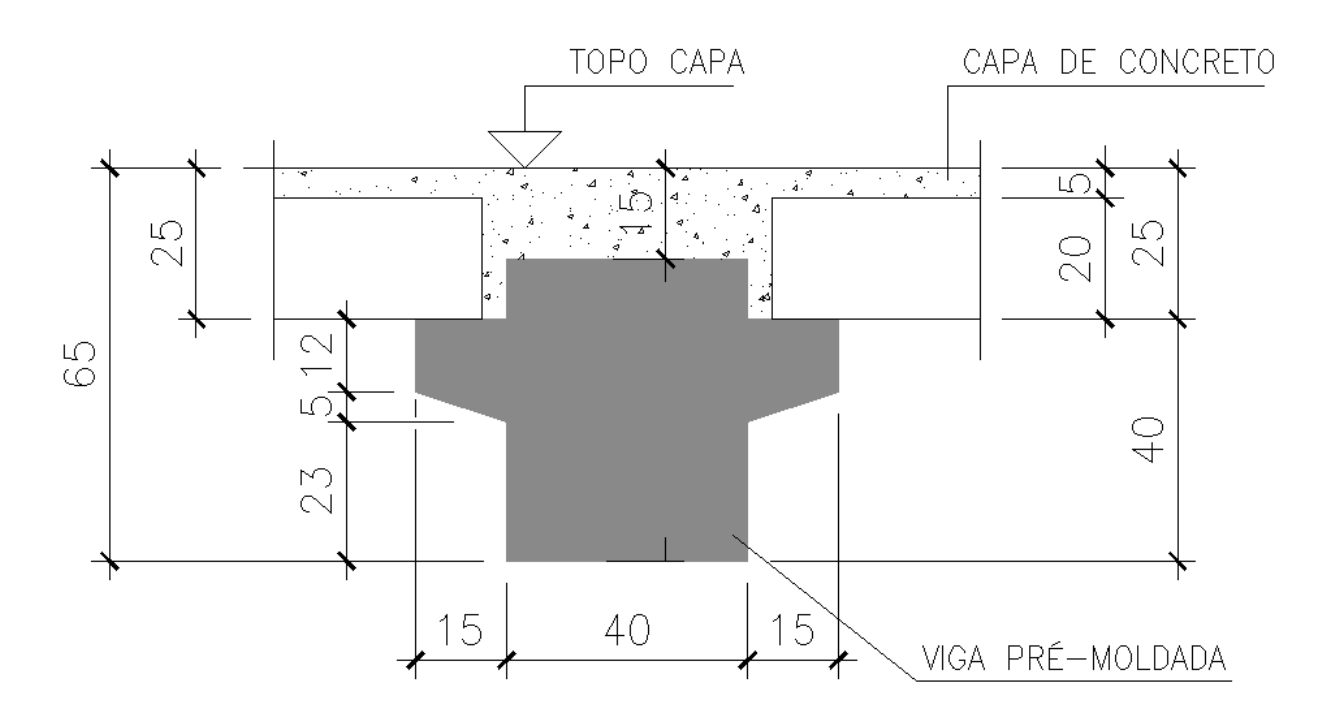
 $d_{\rm c}$ é a distância entre o plano médio das paredes frontal e posterior.





Exemplo 12 – Flecha em viga

4 e 5 de junho de 2025



Fluência só na viga solidarizada

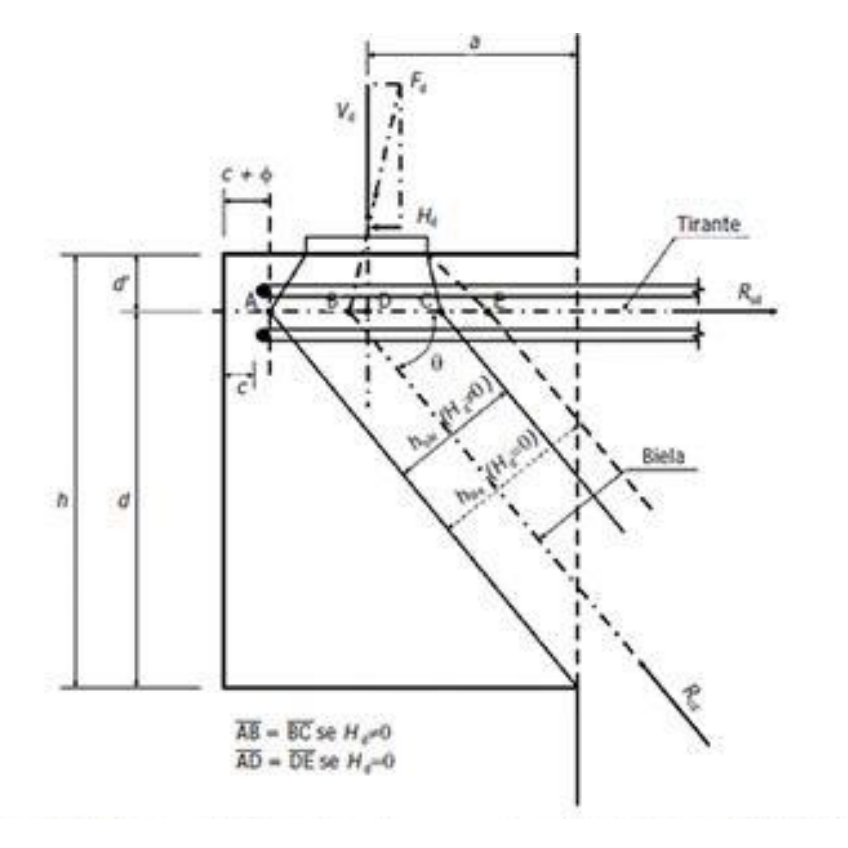




Exemplo 13 – Consoles

4 e 5 de junho de 2025

Estudo do Limite de Console Curto para o Console muito curto!







Exemplo 14 – Armadura de Pilar com Console

4 e 5 de junho de 2025

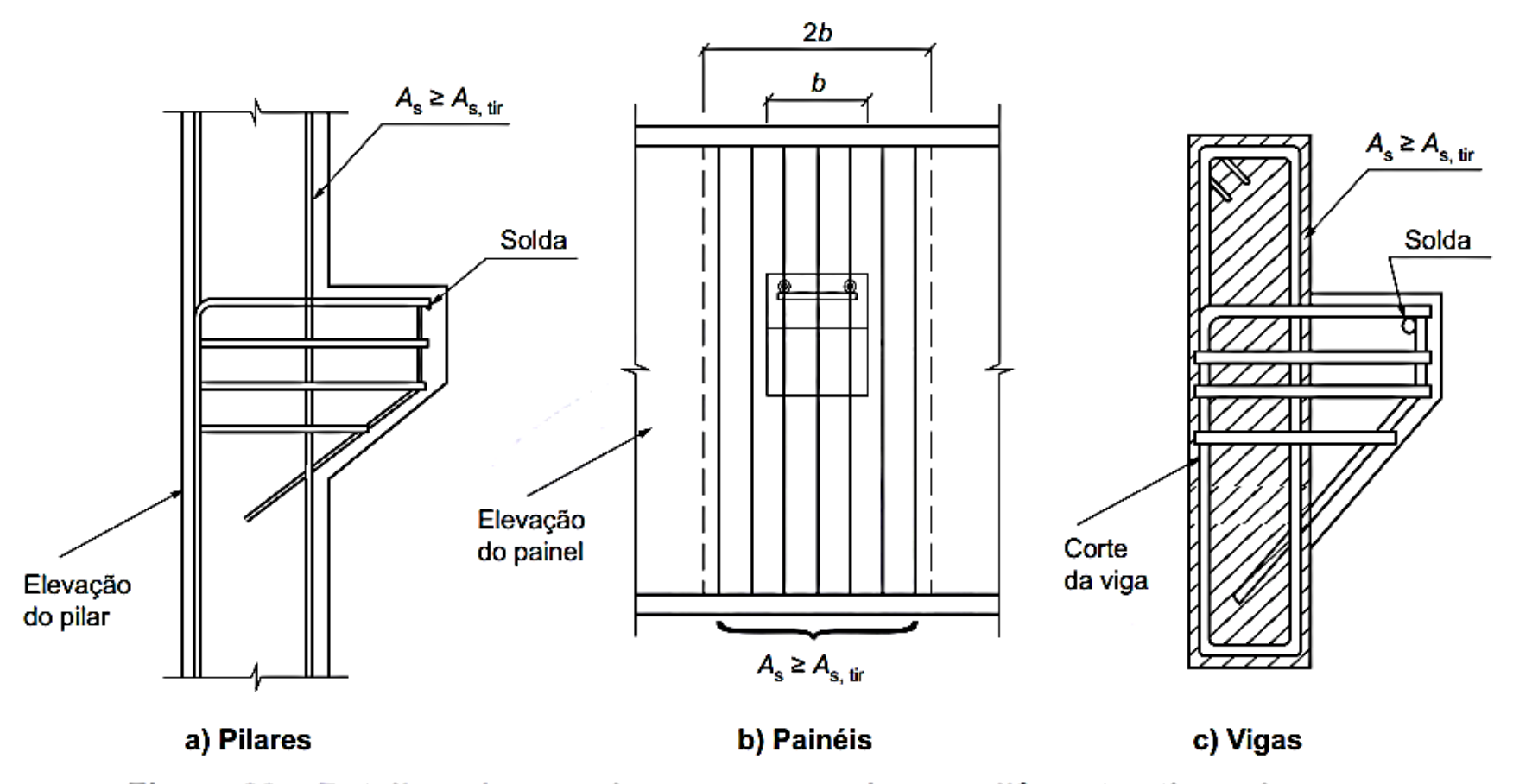


Figura 20 – Detalhes de armadura para consolos em diferentes tipos de peças





Exemplo 15 – Estabilidade lateral de vigas

4 e 5 de junho de 2025

Tabela 15.1 - Valores de β_{tt}

Tipologia da viga	Valores de β_{ft}
	0,40
	0,20
de: Zona comprimida	

$$b \ge \ell_0 / 50$$

$$b \ge \beta_{\parallel} h$$

NBR 6118:2003

6.1.6 Quando não for conhecido o valor de carga crítica nas vigas de concreto armado e protendidas, podem ser seguidos os critérios geométricos a seguir:

$$\frac{L}{b_{\rm f}} \le 50$$

е

$$\frac{L \times h}{(b_{\rm f})^2} \le 500$$

NBR 9062:2017





Exemplo 15 – Estabilidade lateral de vigas

4 e 5 de junho de 2025

Formulação

Analisando um painel de 10 metros de comprimento e 2,5 metros de altura

NBR 6118:2003

$$b \geq \frac{L_0}{50} \rightarrow b \geq 20 \ cm$$

$$b \ge \beta \times h \ (\beta = 0.4) \rightarrow b \ge 100 \ cm$$

Para viga de $h = 100 \text{ cm b} \ge 40 \text{ cm}$

NBR 9062:2017

$$b \geq \frac{L_0}{50} \rightarrow b \geq 20 \ cm$$

$$b \geq \sqrt{\frac{L_0 \times h}{500}} \rightarrow b \geq 22,36 \ cm$$

Para viga de h = 100 cm b \geq 14,15 cm





4 e 5 de junho de 2025

Exemplo 16 – ARMADURA DE PELE

- Precisa ser igual a 6118?
- Pele é para Retração! Com Restrição dos Pilares no moldado in loco.
- E a viga Protendida?





4 e 5 de junho de 2025

OBRIGADO

Eng^o Carlos Melo

Tel: (11) 3816-1883

E-mail: carlos@cma.eng.br



